

## مقایسه‌ی تأثیر دو عامل **TGF-β1** و پیاسکلیدین بر بیان ژن‌های کلاژن II، X و اگریکان در روند کندروژن سلول‌های بنیادی مشتق از چربی انسان در داربست کامپوزیتی فیبرین آژینات

هادی دیدهور<sup>۱</sup>، فرهاد گلشن ایران‌پور<sup>۲</sup>، علی والیانی<sup>۳</sup>، بتول هاشمی‌بنی<sup>۴</sup>، مجتبی اسماعیلی<sup>۱</sup>

### مقاله پژوهشی

### چکیده

**مقدمه:** آسیب‌های بافت غضروف در کشورهای پیشرفته، مهم‌ترین علت ناتوانی در سالمدنان است. علاوه بر آن، غضروف مفصلی توانایی محدودی در ترمیم دارد. روش‌های درمانی رایج قادر به ترمیم این آسیب‌ها نمی‌باشد؛ چرا که منجر به ایجاد بافت فیبروزی در غضروف می‌شوند، سلول درمانی، یکی از روش‌های درمان است که در آن، سلول‌های بنیادی با کمک مهندسی بافت می‌توانند به کندروسیت تمایز یابند و جهت دستیابی به این هدف، از عوامل رشد و داربست‌ها استفاده می‌شود. به دلیل هایپرتروفه شدن بافت غضروف و عدم پایداری داربست‌ها، خسروت دستیابی به عوامل القا کننده و داربست مناسب احساس می‌گردد. بر اساس مطالعات، فیبرین آژینات از لحاظ پایداری و کشسانی (Elasticity) مناسب است و پیاسکلیدین، باعث افزایش بیان ژن‌های مخصوص غضروف می‌گردد. از این رو، در تحقیق حاضر، تأثیر پیاسکلیدین و **TGF-β1** (Transforming growth factor beta1) بر القای کندروژن سلول‌های بنیادی در داربست فیبرین آژینات مورد مقایسه قرار گرفت.

**روش‌ها:** از بافت چربی سه بیمار استخراج و تکثیر داده شد. سپس به مدت ۲۱ روز در داربست فیبرین آژینات تحت تأثیر مدیوم کندروژنیک کشت داده شدند. میزان تکثیر و بقای سلول‌ها به روش MTT [3,4,5-dimethylthiazol-2-yl]-2,5-diphenyltetrazolium-bromide] و میزان بیان ژن‌های اگریکان، کلاژن II و X با استفاده از تکنیک Real-time PCR (Real-time polymerase chain reaction) مورد ارزیابی قرار گرفت.

**یافته‌ها:** میزان تکثیر و بقا در داربست فیبرین آژینات، در گروه حاوی پیاسکلیدین نسبت به سایر گروه‌ها، افزایش داشت؛ اما این افزایش به صورت معنی‌دار نبود ( $P > 0.05$ ). همچنین، پیاسکلیدین باعث افزایش میزان بیان ژن کلاژن II ( $P < 0.001$ ) و کاهش میزان بیان ژن کلاژن X در مقایسه با **TGF-β1** گردید.

**نتیجه‌گیری:** احتمال می‌رود پیاسکلیدین در روند القای کندروژن ADSCs در داربست فیبرین آژینات مؤثر بوده و بر افزایش بیان ژن‌های ویژه‌ی غضروف تأثیر داشته باشد.

**وازگان کلیدی:** سلول بنیادی، پیاسکلیدین، کندروژن، **Transforming growth factor beta1**

**ارجاع:** دیدهور هادی، گلشن ایران‌پور فرهاد، والیانی علی، هاشمی بنی‌بتول، اسماعیلی مجتبی، مقایسه‌ی تأثیر دو عامل **TGF-β1** و پیاسکلیدین بر بیان ژن‌های کلاژن II، X و اگریکان در روند کندروژن سلول‌های بنیادی مشتق از چربی انسان در داربست کامپوزیتی فیبرین آژینات. مجله دانشکده پزشکی اصفهان ۱۳۹۵؛ ۳۷۳ (۳۴): ۱۶۵-۱۵۷.

ترمیم ضایعات غضروفی با محدودیت زیادی روبرو است (۱).

مهندسی بافت که ترکیبی از اصول مهندسی و دانش زیست‌شناختی است، به دنبال دستیابی به داربست‌ها و عوامل مناسب برای تحریک تولید غضروف مفصلی است که بتواند آن را به منظور درمان آسیب‌های مفصلی به بدن انتقال دهد (۲). در مهندسی بافت، از

### مقدمه

غضروف مفصلی، یکی از بافت‌های مبتدی اختصاصی است که شامل کندروسیت و ماتریکس خارج سلولی است و ممکن است به دلایل مختلف از جمله استوارتریت دچار آسیب شود. از آن حایی که در بافت غضروف، عروق خونی و اعصاب وجود ندارد و تغذیه‌ی سلول‌ها از طریق انتشار انجام می‌شود، از این رو،

- ۱- دانشجویی کارشناسی ارشد، گروه علوم تشریح، دانشکده پزشکی و کمپنهای تحقیقات دانشجویی، دانشگاه علوم پزشکی اصفهان، اصفهان، ایران
- ۲- استادیار، گروه علوم تشریح، دانشکده پزشکی، دانشگاه علوم پزشکی اصفهان، اصفهان، ایران
- ۳- دانشیار، گروه علوم تشریح، دانشکده پزشکی، دانشگاه علوم پزشکی اصفهان، اصفهان، ایران

Email: hashemibeni@med.mui.ac.ir

نویسنده‌ی مسؤول: بتول هاشمی بنی

پاسکلیدین تهیه شده از عصاره‌ی آواکادو و سرویا به نسبت ۱ (آواکادو) به ۳ (سرویا) به صورت غیر صابونی (ASU) با (Avocado-soybean unsaponifiables)، در بیماری‌های مفصلی به ویژه استئوآرتیت برای کاهش درد و تورم مفصل استفاده می‌شود (۱۴). پاسکلیدین، با اثر مهاری روی کلاژنаз نوع II و پروستاگلاندین و اثر تحریکی روی سترپروتریگلیکانها و کلاژن و نیز کاهش ستر فیبرونکتین، به بازگرداندن ساختمان غضروف به حال طبیعی کمک می‌کند. به علاوه، پاسکلیدین اثر مهاری بر IL-1 $\beta$  (Interleukin-1 beta) دارد و سبب تحریک ستر کلاژن II در کندروسیت‌ها می‌گردد (۱۵). همچنین، تولید TGF- $\beta$ ۱ را نیز تحریک می‌کند (۱۶).

از آن جایی که در روند کندروروژن اثرات منفی TGF- $\beta$ s و هایپرتروفه شدن بافت غضروفی و ضعیف بودن داربست‌ها مطرح است، در این تحقیق، تأثیر ترکیب گیاهی پاسکلیدین بر روند القای کندروروژن سلول‌های بنیادی مشتق از چربی انسانی در داریست فیرین آلتزینات با عامل رشد TGF- $\beta$ ۱ مورد مقایسه قرار گرفت.

### روش‌ها

بافت چربی زیر جلدی انسانی از سه نفر با سن ۲۵ سال پس از اخذ رضایت کنی از بیمارستان تهیه شد. پس از توزین، بافت تحت شرایط استریل به قطعات چند میلی‌متری تقسیم شد. جهت تجزیه‌ی بافت، از آنزیم کلاژناز نوع IA (Sigma) به میزان ۱/۵ میلی‌گرم به ازای هر گرم بافت چربی استفاده شد. پس از اضافه شدن مقدار مناسب آنزیم، نمونه‌ها در دمای ۳۷ درجه‌ی سانتی‌گراد به مدت ۳۰ دقیقه انکوبه شدند.

پس از تجزیه شدن کامل بافت، هم حجم محلول آنزیم، محیط کشت شامل (Gibco) Penicillin/Streptomycin ۱ درصد + (Gibco) DMEM (Dulbecco's Modified Eagle Medium) (Sigma) Fetal bovine serum (FBS) ۱۰ درصد جهت خوش کردن فعالیت آنزیم به سوپسانسیون سلولی اضافه شد. سپس، سوپسانسیون در لوله‌های فالکون ۱۵ میلی‌لیتری به مدت ۱۵ دقیقه با شتاب ۱۴۰۰ دور در دقیقه سانتریفیوژ شد و مایع رویی هصره با آدیپوسیت‌ها تخلیه گردید.

در پایان، رسوب سلولی حاصل در فلاسک ۲۵ سانتی‌متر مربع در FBS + (Gibco) Penicillin/Streptomycin ۱ درصد + (Gibco) DMEM + (Sigma) CO<sub>2</sub> Carbon dioxide، ۵ درصد و رطوبت نسبی کشت داده شد (۱۵). با تعریض محیط کشت بعد از ۲۴ ساعت، سلول‌های اضافی تخلیه گردید (شکل ۱).

مانع سلولی مختلفی نظری سلول‌های بنیادی مشتق از چربی و سلول‌های بنیادی مغز استخوان استفاده می‌شود. در گذشته، سلول‌های بنیادی مشتق از مغز استخوان به عنوان اصلی‌ترین منبع، برای مهندسی بافت محسوب می‌شدند، اما امروزه سلول‌های بنیادی مشتق از بافت چربی به دلیل روش دستیابی آسان و حالت نهاجی کم و پتانسیل کندروروژنیک بالا، به عنوان یکی از مانع سلول‌های بنیادی در مهندسی بافت به صورت گسترده استفاده می‌شوند (۴). بنابراین، در مطالعه‌ی حاضر، سلول‌های بنیادی از بافت چربی زیر جلدی انسانی ناحیه‌ی شکم جدا و کشت گردید و برای القای کندروروژن مورد استفاده قرار گرفت.

مواد زیستی، نقش اساسی در مهندسی بافت دارند. جهت ترمیم یا درمان بافت‌ها، از داریست‌های طبیعی و مصنوعی استفاده می‌شود (۵). داریست باید زیست‌تخریب‌پذیر، زیست‌سازگار و متخلخل باشد و شرایط مناسب برای چسبندگی، تکثیر و مهاجرت سلولی را فراهم کند (۶-۷).

داریست کامپوزیتی فیرین آلتزینات، یکی از داریست‌های طبیعی است که از زیست‌سازگاری و پایداری مناسبی برخوردار است و تهیه‌ی آن نیز آسان است. این داریست، از ترکیب فیرین و آلتزینات به دست می‌آید (۸). داریست فیرین از فیریتوژن و ترومین ساخته می‌شود و از لحاظ سازگاری زیستی، مناسب است و خاصیت ویسکوelasiticیty (Viscoelasticity) منحصر به فردی دارد، اما از لحاظ پایداری ضعیف است و سریع تخریب می‌شود (۹).

با ترکیب این داریست با آلتزینات، می‌توان پایداری داریست را افزایش داد. آلتزینات، از جلکه‌های فهوده‌ای به دست می‌آید و در حالت ژل، دارای متخلخل است و انتشار ماقروملکول‌ها را تسهیل می‌نماید، اما از لحاظ خاصیت کشسانی (Elasticity) ضعیف و شکننده است؛ با ترکیب این داریست با فیرین، می‌توان کشسانی آن را افزایش داد (۱۰).

عوامل رشد، نقش مهمی را در تکلیر، آپیشور و تمایز سلولی و همچنین، تنظیم چرخدی سلولی و سیستم ایمنی دارند. از میان این عوامل، (TGF- $\beta$ ) Transforming growth factor beta (TGF- $\beta$ s) از ممانودهی اشاره کرد که به طور وسیعی در مهندسی بافت غضروف استفاده می‌شود. مطالعات نشان داده است، این عوامل موجب بیان یک سری از ژن‌ها از جمله کلاژن II و اگرکان و ساخت گلیکوز آمینو گلیکان‌ها می‌شوند (۱۱-۱۲). TGF- $\beta$ s اثر القای کندروروژن در کندروروژن (BM-MSCs) Bone marrow mesenchymal stem cells (ADSCs) Adipose derived stem cells عوامل رشد علاوه بر قیمت زیاد و نیز عمر کوتاه (۲۴-۷۲ ساعت)، هایپرتروفه شدن کندروسیت‌ها نیز تأثیر دارند (۱۳).

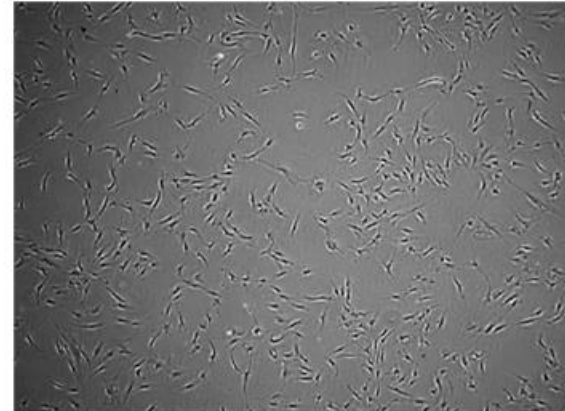
بانک خون استان اصفهان تهیه گردید و به مدت ۱۰ دقیقه در بن‌ماری در دمای ۳۷ درجه‌ی سانتی‌گراد فرار داده شد و سپس سطح خارجی کیسه با الکل ۷۰ درصد خرد عضوی گردید و تحت شرایط استریل با استفاده از سرنگ ۱۰ سی‌سی، محتریات درون آن کشیده شد (۱۸).

تهیه‌ی آلتیات: جهت تهیه‌ی آلتیات، ۱/۵ گرم پودر آلتیات (Sigma) در ۱۰۰ میلی‌لیتر کلرید سدیم ۰/۹ درصد حل گردید و سپس با فیلتر ۰/۲ میکرومتر استریل شد (۱۹).

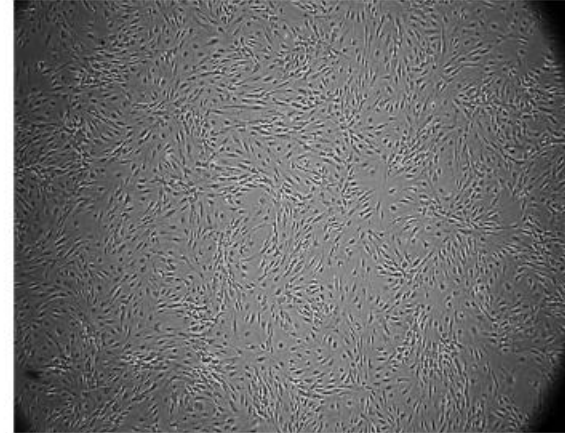
انتقال سلول‌ها به داریست فیرین آلتیات: پس از جدا کردن سلول‌های حاصل از پاساز سوم از غلاسکاها، سوپاپسیون سلولی شمارش شد. به ازای هر ۵ میلیون سلول، ۱ سی‌سی آلتیات ۱/۵ درصد اضافه شد. سپس، سوپاپسیون سلول آلتیات به آرامی از طریق نیدل Gauge ۲۳ به محلول ۱۰۲ میلی‌مولار کلریم کلرید (Merck) موجود در بلیت ۲۴ خانه اضافه شد. پس از این که محلول را به مدت ۵ دقیقه در دمای اتاق فرار دادیم، بیدهای آلتیات تشکیل گردید. آن‌گاه، کلریم کلرید خارج شد و بیدهای سرتیفیک شده با استفاده از سدیم کلرید ۰/۹ درصد شستشو شدند (۱۹). سپس، به هر خانه ۳۰۰ میکرولیتر فیرین‌ترن و ۳۰۰ میکرولیتر ترومین اضافه گردید. پس از چند دقیقه، لخته‌ی فیرین حاوی آلتیات بید سلول تشکیل شد.

تمایز کندروروژنیک روی داریست فیرین آلتیات: تعداد  $1 \times 10^6$  سلول بینایی کشش شده در داریست فیرین آلتیات تحت تأثیر محیط کشت القای کندروروژنیک حاوی DMEM high glucose (Gibco) Penicillin/Streptomycin (Gibco) ITS (Sigma) Dexamethasone (Gibco)  $10^{-8}$  میکروگرم (Sigma) و Transferrin (Sigma)  $1 \mu\text{g}/\text{ml}$  (Sigma)  $1 \text{ mg}/\text{ml}$  (Sigma) Bovine serum albumin (Sigma)  $1 \text{ mg}/\text{ml}$  (Sigma) Ascorbate 2 phosphate (ASP) (Sigma) Linoleic acid (Sigma) به کندروروژنیک دارای تمایز داده شد. در گروه اول محیط کشت کندروروژنیک دارای ۱۰ میکروگرم بر میلی‌لیتر TGF- $\beta$ 1، در گروه دوم محیط کشت کندروروژنیک دارای ۱۰ میکروگرم بر میلی‌لیتر Piasclidin و در گروه سوم محیط کشت کندروروژنیک دارای هر دو عامل پیش‌گفته و مدت القای محیط کشت، ۲۱ روز بود.

روش انعام تکنیک MTT در روز ۲۱، ابتداء محیط کشت چامک‌ها تعلیه گردید و داریست با Phosphate buffered saline (PBS) شستشو داده شد. سپس ۴۰۰ میکرولیتر خالص و ۴۰ میکرولیتر محلول ۵ میلی‌گرم بر میلی‌لیتر [3-(4, 5-dimethylthiazol-2-yl)-2, 5-diphenyltetrazolium-bromide] (Sigma) (MTT) (Sigma) (MTT) اضافه شد و به مدت ۴ ساعت در انکوباتور با حرارت ۳۷ درجه‌ی سانتی‌گراد و ۵  $\text{CO}_2$  درصد فرار داده شد. سپس،



a



b

شکل ۱. تصویر میکروسکوپ اینورت از سلول‌های بینایی مشتق از چربی زنده در کشت تک لایه‌ای در پاساز سوم (بزرگنمایی  $40\times$ )  
a) روز دوم و b) روز ششم

تهیه‌ی ترکیب گیاهی پیاسکلیدین: یک کپسول ۳۰۰ میلی‌گرمی محتری ترکیب گیاهی پیاسکلیدین (برآین پارس) در ۳۰ میلی‌لیتر محلول خالص حل گردید تا غلظت ۱۰ میلی‌گرم بر میلی‌لیتر به عنوان محلول ذخیره به دست آید. سپس جهت القای تمایز با استفاده از محیط کشت غلظت ۱۰ میکروگرم بر میلی‌لیتر تهیه شد.

تهیه‌ی ترومین: جهت تهیه‌ی ترومین، یک کیسه Fresh frozen plasma (FFP) از بانک خون استان اصفهان تهیه شد. سپس محتریات آن در داخل دستگاه بن‌ماری ذوب گردید. آن‌گاه، با سرنگ، محتریات داخل کیسه به داخل لوله‌ی فالکرون ۵۰ میلی‌لیتری مستقل و به هر لوله‌ی فالکرون ۱ ویال ۱۰ میلی‌لیتری آمپول گلورکونات کلریم اضافه شد. پس از  $60-90$  دقیقه محلول رویی حاوی ترومین در حجم ۱ میلی‌لیتر الیکوت و در دمای  $80$  درجه‌ی سانتی‌گراد نگهداری شد (۱۷).

تهیه‌ی فیرین‌ترن: کیسه Cryoprecipitate به صورت آماده از

جدول ۱. زن‌ها و پرایمرهای به کار رفته در

**(Real-time PCR) Real-time polymerase chain reaction**

قائم زن	توالی پرایمرها
Col II-F	CTGGGTGATGATGGTGAAG
Col II-R	CCTGGATAACCTCTGTGA
Agre-F	GTGGGACTGAAGTCTTG
Agre-R	GTTGTCATGGTCTGAAGTT
GAPDH-F	AAGCTCATTTCTGGTATG
GAPDH-R	CTTCCTCTGTGCTTGT
Col X-F	AGAATCCATCTGAGAATATGC
Col X-R	AGAATCCATCTGAGAATATGC

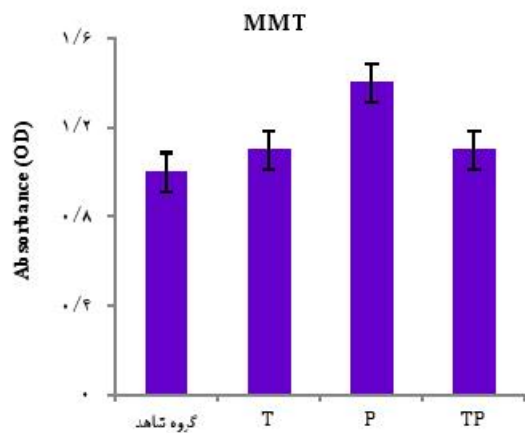
F: Forward; R: Revers; Col II: Type II Collagen; Agre: Aggrecan; Col X: Type X Collagen; GAPDH: Glyceraldehyde 3-phosphate dehydrogenase

برای بررسی طبیعی بودن توزیع داده‌ها، از آزمون Kolmogorov-Smirnov و برای آنالیز داده‌ها از LSD post hoc و One-way ANOVA و نرم‌افزار آماری SPSS (Least significant difference) و نرم‌افزار آماری (SPSS Inc., Chicago, IL) استفاده گردید.

#### یافته‌ها

##### بررسی نتایج باعث تکثیر سلول‌های بینایی

به دنبال استفاده از محلول MTT مشخص شد پیاسکلیدین، میزان تکثیر و تقاضای ADSCs تراویز یافته به کندروسیت را افزایش داد، اما تفاوت معنی‌داری بین گروه‌ها با گروه شاهد دیده نشد ( $P > 0.050$ ) (شکل ۲).



شکل ۲. مقایسه‌ی نتایج 3-(4,5-dimethylthiazol-2-yl)-] MTT [2,5-diphenyltetrazolium-bromide در گروه‌های مورد مطالعه؛ تفاوت معنی‌داری بین این گروه‌ها با گروه شاهد وجود ندارد ( $P > 0.050$ )

T: TGF- $\beta$ 1; P: Piasclidine; TP: TGF- $\beta$ 1 + piasclidine

مایع تخلیه و ۴۰۰ میکرولیتر (DMSO) Dimethyl sulfoxide (Sigma) به چامک‌ها اضافه گردید و به مدت دو ساعت در تاریکی و دمای اتاق فرار داده شد. در انتهای، ۱۰۰ میکرولیتر از هر چامک، به پلیت ۹۶ حانه متفل و میزان جذب نوری (Hyperion MPR4) با دستگاه (OD) Optical density (Enzyme-linked immunosorbent assay) ELISA Reader طول موج ۵۷۰ نانومتر خوانده شد. برای هر نمونه سه بار تکرار (Triplicate) صورت گرفت (۲۱، ۲۰).

روش انجام تکنیک Real-time PCR Real-time polymerase chain reaction برای ارزیابی یافته زن‌های مربوط به مولکول‌های ماتریکس و پیزه‌ی غضروف استفاده شد. در روز ۲۱، ابتدا داریست فیبرین آلفا-1 براز PBS شستشو داده شد. سپس، جهت تجزیه‌ی بینایی آلفا-1 براز (Sharlau) ۵۵ میلی‌مولار سدیم سیترات ۱/۵ درصد (Merck) اضافه گردید و محلول حاصل به مدت ۱۰ دقیقه و با شتاب ۱۲۰۰ دور در دقیقه سانتریفیوز گردید.

سلول‌های حاصل، جهت استخراج RNA با کیت (Qiagen, Cat. No. 74101) RNeasy mini kit گرفته شد. ساخت cDNA Complementary DNA برای استفاده از RevertAid™ First Strand cDNA synthesis kit Oligo و Oligo RevertAid™ First Strand cDNA synthesis kit Oligo استخراج شده، ۱ میکرولیتر Ribonuclease inhibitor Oligo و آنزیم (dNTP) Deoxynucleoside triphosphate Reversetranscriptase به کار رفت برای تکثیر cDNA به شده، ۱۰ x buffer به میزان ۲/۵ میکرولیتر، ۱۰ میلی‌مولار به مقدار ۰/۵ میکرولیتر FPrimer به میزان ۱ میکرولیتر، میزان ۱ میکرولیتر، نمونه DNA نهیه شده به میزان ۲ میکرولیتر، dd H<sub>2</sub>O به میزان ۰/۵ میکرولیتر و ۰/۵ میکرولیتر رسید. افزوده شد تا حجم نهایی به ۲۵ میکرولیتر رسید. سپس، تکثیر در چند برنامه انجام شد. برنامه‌ی اول برای Denaturation در دمای ۹۵ درجه‌ی سانتی‌گراد به مدت ۱۰ دقیقه شروع شد. Denaturation در ۹۵ درجه‌ی سانتی‌گراد برای ۱۵ ثانیه، Annealing در دمای ۶۰ درجه‌ی سانتی‌گراد برای یک دقیقه و Extension در ۷۲ درجه‌ی سانتی‌گراد برای یک دقیقه ادامه یافت. کل این فرایندها در ۴۰ چرخه صورت گرفت (۲۲، ۲۴).

در بیان، منحنی ذوب (Melt curve) رسم شد. این برنامه برای هر سه زن به کار رفت. همه‌ی پرایمرهای مورد استفاده در Real-time PCR با به کارگیری نرم‌افزار Allele ID 7.6 طبق جدول ۱ طراحی شد.

## بحث

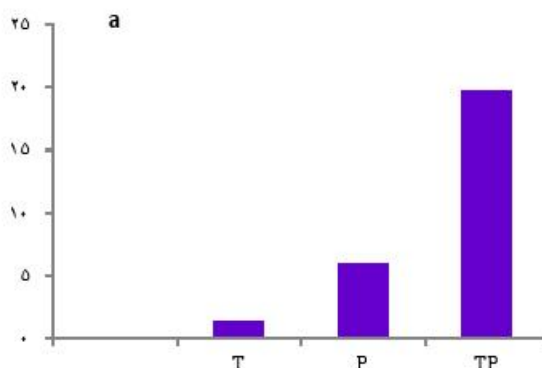
در مهندسی بافت، جهت طراحی بافت غضروف وجود تراکم سلولی بالا و تعامل بین سلولی مناسب، ضروری است و از طریق کشت سلول‌ها بر روی داریست سه بعدی، می‌توان تعامل بین سلولی مناسب جهت القای کندروزن را فراهم کرد. لازم به ذکر است که عوامل رشد نیز جهت القای کندروزن ضروری هستند (۲۵ ۲۶).

جهت تمايز کندروزنیک، از داریست‌های گرناگونی استفاده شده است که هر یک، معایب و مزایایی دارند. داریست‌های مصنوعی، زیست‌سازگاری خوبی ندارند و نهیه‌ی آن‌ها مشکل است، اما از لحاظ ویژگی‌های مکانیکی مناسب هستند. داریست‌های طبیعی نیز دارای معایب نظیر پایداری کم هستند (۲۷ ۲۸).

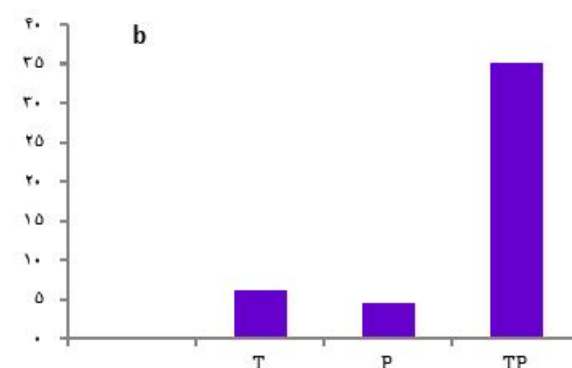
## Real-time PCR

نتایج Real-time PCR نشان داد که بیان زن کلاژن II در روز ۲۱ در گروه TGF- $\beta$ 1 + پیاسکلیدین نسبت به گروه TGF- $\beta$ 1 به تنهایی، حدود ۱۶ برابر و بیان این زن در گروه پیاسکلیدین در مقایسه با گروه TGF- $\beta$ 1 حدود ۵ برابر بود ( $P < 0.001$ ) (شکل a). بیان زن کلاژن X در گروه پیاسکلیدین کمتر از گروه TGF- $\beta$ 1 شد (شکل b) ( $P > 0.050$ ). همچنین، بیان زن اگریکان در گروه TGF- $\beta$ 1 و گروه پیاسکلیدین به طور تقریبی با هم برابر شد و بیان این زن در گروه TGF- $\beta$ 1 + پیاسکلیدین نسبت به گروه‌های TGF- $\beta$ 1 و پیاسکلیدین حدود ۱۳ برابر بیشتر گردید ( $P < 0.001$ ) (شکل c).

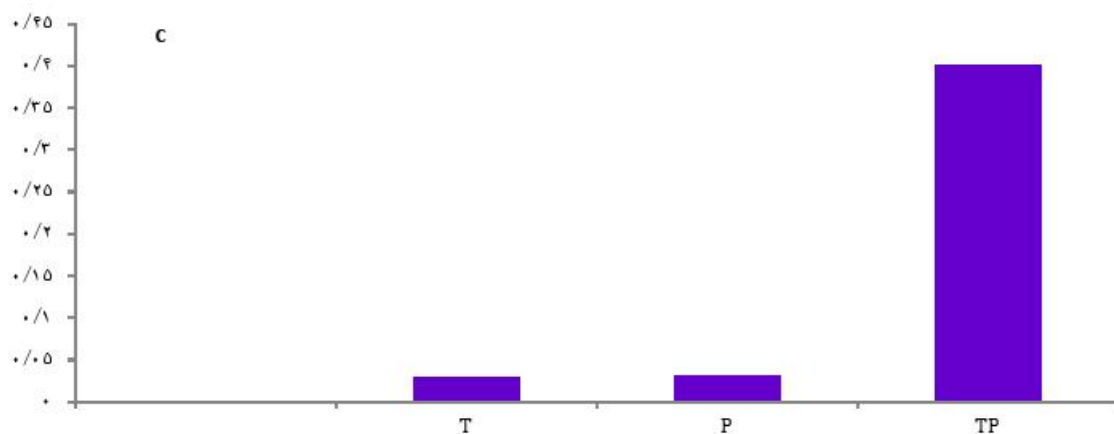
Collagen II



Collagen X



Aggrecan



شکل ۲. نتایج Real-time polymerase chain reaction (Real-time PCR) برای زن کلاژن II (a)، کلاژن X (b) و اگریکان (c) در روز ۲۱.

میانگین ± انحراف معیار مربوط به سه آزمایش است.

عایمت \*\*\* نشان دهنده معنی‌دار بودن اختلاف گروه‌ها با یکدیگر است ( $P < 0.001$ ). (a): هر سه گروه نسبت به یکدیگر اختلاف معنی‌داری دارند. (b): اختلاف گروه پیاسکلیدین و TGF- $\beta$ 1 با گروه دیگر معنی‌دار است. (c): اختلاف گروه پیاسکلیدین و TGF- $\beta$ 1 با گروه تحت تأثیر پیاسکلیدین دار است.

گروه تحت تأثیر پیاسکلیدین: T؛ گروه تحت تأثیر TGF- $\beta$ 1: P؛ گروه تحت تأثیر پیاسکلیدین و TGF- $\beta$ 1: TP.

(RQ): نشان دهنده میزان نسبی بیان زن‌ها است.

نسبت به گروه دارای TGF- $\beta$ 1 بیشتر می‌باشد و بیان ژن اگریکان در گروه حاوی پیاسکلیدین نسبت به گروه دارای TGF- $\beta$ 1 به طور تقریبی برابر است. لازم به ذکر است جهت دستیابی به غضروف میالین، باید در شرایط القای کندروزن سلول‌های بنیادی، بیان ژن کلاژن نوع X کاهش یابد تا از هایپرتروفه شدن جلوگیری به عمل آید.

در مطالعه‌ی حاضر مشخص شد که بیان این ژن در گروه پیاسکلیدین کمتر از گروه TGF- $\beta$ 1 بوده است. با مقایسه‌ی بیان ژن‌های اگریکان، کلاژن II و X، می‌توان به این نتیجه پی برد که پیاسکلیدین، قادر است بهتر و بیشتر از چرسی مؤثر واقع شود. لازم به ذکر است در زمینه‌ی بررسی تأثیر پیاسکلیدین در تمايز سلول‌های بنیادی تا زمان اجرای مطالعه‌ی حاضر، مطالعه‌ای منتشر نشده بود.

همچنین، مطالعه‌ی حاضر نشان می‌دهد که TGF- $\beta$ 1 به صراحت پیاسکلیدین در بیان ژن‌های کلاژن II و اگریکان تأثیر بسیار چشمگیری داشته است به طوری که میزان بیان ژن کلاژن نوع II در گروه TGF- $\beta$ 1 به صراحت پیاسکلیدین به میزان ۳ برابر بیشتر از گروه حاوی پیاسکلیدین و ۱۴ برابر بیشتر از گروه حاوی TGF- $\beta$ 1 است و همچنین، میزان بیان ژن اگریکان در گروه TGF- $\beta$ 1 به صراحت پیاسکلیدین، به میزان ۱۲ برابر بیشتر از گروه‌های TGF- $\beta$ 1 و پیاسکلیدین است. بر اساس این نتایج، احتمال می‌رود پیاسکلیدین اثر تحریکی روی TGF- $\beta$ 1 داشته باشد. این یافته‌ها با نتایج مطالعه‌ی Altinel و همکاران مخوانی دارد (۳۵).

همراهی دو عامل TGF- $\beta$ 1 و پیاسکلیدین، همچنین باعث افزایش بیان ژن کلاژن X عامل هایپرتروفه شدن کندروسیت‌ها به میزان ۷ برابر نسبت به پیاسکلیدین شد که این اثر منفی نیز به دلیل وجود TGF- $\beta$ 1 می‌باشد.

از تحفیت حاضر، می‌توان نتیجه گرفت که سلول‌های بنیادی مشتق از بافت چرسی در داریست فیبرین آژینات، تحت تأثیر پیاسکلیدین قابلیت تمايز به کندروسیت‌های را دارند که ژن‌های ویژه‌ی غضروف‌ساز مانند کلاژن نوع II و اگریکان را بیان می‌کنند. این نتایج نشان می‌دهد که این ترکیب گیاهی در مقایسه با عامل رشد TGF- $\beta$ 1 تأثیر بهتری در روند القای کندروزن دارد.

### تشکر و قدردانی

مقاله‌ی حاضر حاصل پایان‌نامه‌ی دوره‌ی کارشناسی ارشد هادی دیدهور با شماره‌ی ۳۹۴۲۶۳ در دانشگاه علوم پزشکی اصفهان است. از معاونت بزویش و فناوری دانشگاه علوم پزشکی اصفهان، جهت حمایت و تأمین بودجه‌ی این طرح سپاسگزاری می‌گردد.

داریست کامپوزیت فیبرین آژینات، یکی از داریست‌های طبیعی است که از زیست‌سازگاری و پایداری مناسبی برخوردار است و تهیی آن نیز آسان است. این داریست، از ترکیب داریست فیبرین و آژینات به دست می‌آید (۲۹). داریست فیبرین، از فیبرینوزن و ترومیمن ساخته می‌شود و از لحاظ سازگاری زیستی، مناسب است و خاصیت ویسکوالاستیک منحصر به فردی دارد؛ اما از لحاظ پایداری ضعیف است و سریع تخریب می‌شود. با ترکیب این داریست با آژینات، می‌توان پایداری داریست را افزایش داد (۳۰-۳۱).

آژینات، از جمله‌های فهره‌ای یا از کپرول‌های پلی‌ساقاریدی باکتری‌ها به دست می‌آید. پلی‌ساقارید طبیعی آژینات، در شرایط آزمایشگاه بدون نیاز به وجود حاللهای آلی به راحتی به حالت زل در می‌آید و تهیی آن نیاز به تغییر pH، حراست یا فعال کننده‌های سیم‌نواره و در حالت زل، دارای تخلخل است و انتشار ماکروملکول‌ها را تسهیل می‌نماید، اما از لحاظ خاصیت کشانی ضعیف و شکننده است که با ترکیب این داریست با فیبرین، می‌توان کشانی آن را افزایش داد (۳۲-۳۳).

در واقع، جهت ایجاد تعادل بین روند تخریب‌پذیری و خاصیت کشانی، می‌توان از ترکیبی از فیبرین و آژینات به عنوان ماده‌ی زمینه‌ی خارج سلولی بستری مناسب برای رشد سلول‌ها غرامم نمود. Ma و همکاران برای کندروزن سلول‌های BMSCs (Bone marrow stromal cells) فیبرین آژینات استفاده کردند و نشان دادند که فیبرین، قدرت کشانی داریست و همچنین، تکییر سلولی را افزایش می‌دهد و آژینات، ثبات و بیان ژن‌های کندروسیت و تولید اجزای ماتریکس خارج سلولی را پس از تمايز افزایش می‌دهد (۳۴).

در مطالعه‌ی حاضر، زمانی که پیاسکلیدین، TGF- $\beta$ 1 و ترکیب هر دوی آن‌ها در سه محیط کشت جداگانه اضافه شدند، میزان تکثیر و بنا در گروه پیاسکلیدین نسبت به گروه‌های دیگر بیشتر گردید اما این افزایش، معنی دار نبود ( $P > 0.050$ ).

نتایج به دست آمده، مشابه نتایج مطالعات Shikanov و همکاران (۸) و نیز Ma (۳۴) بودا آن‌ها مشخص نمودند که بنا و تکثیر BMSCs در داریست فیبرین آژینات حفظ می‌شود.

در تحفیت حاضر، آنالیز Real-time PCR برای بیان ژن‌های کلاژن II و X و اگریکان برای سلول‌های بنیادی مشتق از چرسی پس از کشت در محیط کشت کندروزنیک طی ۲۱ روز در داریست فیبرین آژینات در حضور پیاسکلیدین، TGF- $\beta$ 1 و ترکیب هر دوی آن‌ها به صورت جداگانه مورد ارزیابی فرار گرفت. در نهایت، مشخص شد که بیان ژن کلاژن نوع II به میزان ۵ برابر در گروه حاوی پیاسکلیدین

## References

- Hardingham T, Tew S, Murdoch A. Tissue engineering Chondrocytes and cartilage. *Arthritis Res* 2002; 4(Suppl 3): S63-S68.
- Mitchell N, Shepard N. The resurfacing of adult rabbit articular cartilage by multiple perforations through the subchondral bone. *J Bone Joint Surg Am* 1976; 58(2): 230-3.
- Mardani M, Hashemibeni B, Ansar MM, Zarkesh Esfahani SH, Kazemi M, Goharian V, et al. Comparison between chondrogenic markers of differentiated chondrocytes from adipose derived stem cells and articular chondrocytes in vitro. *Iran J Basic Med Sci* 2013; 16(6): 763-73.
- Colter DC, Sekiya I, Prockop DJ. Identification of a subpopulation of rapidly self-renewing and multipotential adult stem cells in colonies of human marrow stromal cells. *Proc Natl Acad Sci USA* 2001; 98(14): 7841-5.
- Breen A, Dockery P, O'Brien T, Pandit A. Fibrin scaffold promotes adenoviral gene transfer and controlled vector delivery. *J Biomed Mater Res A* 2009; 89(4): 876-84.
- Chen G, Ushida T, Tateishi T. A biodegradable hybrid sponge nested with collagen microsponges. *J Biomed Mater Res* 2000; 51(2): 273-9.
- Lahiji A, Sohrabi A, Hungerford DS, Frondoza CG. Chitosan supports the expression of extracellular matrix proteins in human osteoblasts and chondrocytes. *J Biomed Mater Res* 2000; 51(4): 586-95.
- Shikanov A, Xu M, Woodruff TK, Shea LD. Interpenetrating fibrin-alginate matrices for in vitro ovarian follicle development. *Biomaterials* 2009; 30(29): 5476-85.
- Zhou H, Xu HH. The fast release of stem cells from alginate-fibrin microbeads in injectable scaffolds for bone tissue engineering. *Biomaterials* 2011; 32(30): 7503-13.
- Morris VJ. Gelation of polysaccharides. In: Mitchell JR, Ledward DA, editors. *Functional properties of food macromolecules*. New York, NY: Elsevier; 1986. p. 121-8.
- Hashemibeni B, Razavi Sh, Esfandiary E, Karbasi S, Mardani M, Sadeghi F, et al. Effect of transforming growth factor- $\beta$ 3 and bone morphogenetic protein-6 growth factors on chondrogenic differentiation of adipose-derived stem cells in alginate scaffold. *J Isfahan Med Sch* 2010; 28(112): 607-20. [In Persian].
- Hashemibeni B, Razavi Sh, Esfandiary E, Karbasi S, Mardani M, Nasresfahani M. Induction of chondrogenic differentiation of human adipose-derived stem cells with TGF- $\beta$ 3 in pellet culture system. *Iran J Basic Med Sci* 2008; 11(1): 10-7.
- Langer R, Vacanti JP. Tissue engineering. *Science* 1993; 260(5110): 920-6.
- Henrotin YE, Labasse AH, Jaspar JM, de Groote DD, Zheng SX, Guillou GB, et al. Effects of three avocado/soybean unsaponifiable mixtures on metalloproteinases, cytokines and prostaglandin E2 production by human articular chondrocytes. *Clin Rheumatol* 1998; 17(1): 31-9.
- Mauviel A, Daireaux M, Hartmann DJ, Galéra P, Loyau G, Pujol JP. Effects of unsaponifiable extracts of avocado/soy beans (PIAS) on the production of collagen by cultures of synoviocytes, articular chondrocytes and skin fibroblasts. *Rev Rhum Mal Osteoartic* 1989; 56(2): 207-11. [In French].
- Hunter DJ. Pharmacologic therapy for osteoarthritis--the era of disease modification. *Nat Rev Rheumatol* 2011; 7(1): 13-22.
- Sadeghian M, Hashemibeni B, Mardani M, Amirpoor N, Aliakbari M. Comparing the effect of platelet rich plasma (PRP) and fetal bovine serum (FBS) on proliferation and survival of adipose-derived stem cells in fibrin scaffolds. *J Isfahan Med Sch* 2015; 32(317): 2299-2311. [In Persian].
- Yang SH, Wu CC, Shih TT, Chen PQ, Lin FH. Three-dimensional culture of human nucleus pulposus cells in fibrin clot: Comparisons on cellular proliferation and matrix synthesis with cells in alginate. *Artif Organs* 2008; 32(1): 70-3.
- Valiani A, Hashemibeni B, Esfandiary E, Ansar MM, Kazemi M, Esmaeili N. Study of carbon nano-tubes effects on the chondrogenesis of human adipose derived stem cells in alginate scaffold. *Int J Prev Med* 2014; 5(7): 825-34.
- Rowley JA, Madlambayan G, Mooney DJ. Alginate hydrogels as synthetic extracellular matrix materials. *Biomaterials* 1999; 20(1): 45-53.
- Wang ZY, Zhang QZ, Konno M, Saito S. Sol-gel transition of alginate solution by the addition of various divalent cations:  $^{13}\text{C}$ -nmr spectroscopic study. *Biopolymers* 1993; 33(4): 703-11.
- Esfandiary E, Valiani A, Hashemibeni B, Moradi I, Narimani M. The evaluation of toxicity of carbon nanotubes on the human adipose-derived-stem cells in-vitro. *Adv Biomed Res* 2014; 3: 40.
- Yan J, Dong L, Zhang B, Qi N. Effects of extremely low-frequency magnetic field on growth and differentiation of human mesenchymal stem cells. *Electromagn Biol Med* 2010; 29(4): 165-76.
- Creecy CM, O'Neill CF, Arulanandam BP, Sylvia VL, Navara CS, Bizios R. Mesenchymal stem cell osteodifferentiation in response to alternating electric current. *Tissue Eng Part A* 2013; 19(3-4): 467-74.
- Ruettinger A, Neumann S, Wiederanders B, Huber R. Comparison of different methods for preparation and characterization of total RNA from cartilage samples to uncover osteoarthritis in vivo. *BMC Res Notes* 2010; 3: 7.
- Kuo CK, Li WJ, Mauck RL, Tuan RS. Cartilage tissue engineering: its potential and uses. *Curr Opin Rheumatol* 2006; 18(1): 64-73.
- Guilak F, Cohen DM, Estes BT, Gimble JM, Liedtke W, Chen CS. Control of stem cell fate by physical interactions with the extracellular matrix. *Cell Stem Cell* 2009; 5(1): 17-26.
- Yang IH, Kim SH, Kim YH, Sun HJ, Kim SJ, Lee JW. Comparison of phenotypic characterization between "alginate bead" and "pellet" culture systems as chondrogenic differentiation models for human mesenchymal stem cells. *Yonsei Med J* 2004; 45(5): 891-900.

29. Zhao L, Weir MD, Xu HH. An injectable calcium phosphate-alginate hydrogel-umbilical cord mesenchymal stem cell paste for bone tissue engineering. *Biomaterials* 2010; 31(25): 6502-10.
30. Buser Z, Liu J, Thorne KJ, Coughlin D, Lotz JC. Inflammatory response of intervertebral disc cells is reduced by fibrin sealant scaffold in vitro. *J Tissue Eng Regen Med* 2014; 8(1): 77-84.
31. Chien CS, Ho HO, Liang YC, Ko PH, Sheu MT, Chen CH. Incorporation of exudates of human platelet-rich fibrin gel in biodegradable fibrin scaffolds for tissue engineering of cartilage. *J Biomed Mater Res B Appl Biomater* 2012; 100(4): 948-55.
32. Stevens MM, Qanadilo HF, Langer R, Prasad S, V. A rapid-curing alginate gel system: utility in periosteum-derived cartilage tissue engineering. *Biomaterials* 2004; 25(5): 887-94.
33. Stevens MM, Marini RP, Martin I, Langer R, Prasad S, V. FGF-2 enhances TGF-beta1-induced periosteal chondrogenesis. *J Orthop Res* 2004; 22(5): 1114-9.
34. Ma HL, Hung SC, Lin SY, Chen YL, Lo WH. Chondrogenesis of human mesenchymal stem cells encapsulated in alginate beads. *J Biomed Mater Res A* 2003; 64(2): 273-81.
35. Altinel L, Saritas ZK, Kose KC, Pamuk K, Aksoy Y, Serteser M. Treatment with unsaponifiable extracts of avocado and soybean increases TGF-beta1 and TGF-beta2 levels in canine joint fluid. *Tohoku J Exp Med* 2007; 211(2): 181-6.

**Comparing the Effects of Transforming Growth Factor Beta1 (TGF- $\beta$ 1) and Piascledine on the Expression of Collagen II, X and Aggrecan Genes in Chondrogenesis of human Adipose-Derived Stem Cells in Fibrin Alginate Composite Scaffold**

Hadi Didehvar<sup>1</sup>, Farhad Golshan-Iranpoor<sup>2</sup>, Ali Valiani<sup>2</sup>, Batool Hashemibeni<sup>3</sup>, Mojtaba Esmaeeli<sup>1</sup>

**Original Article**

**Abstract**

**Background:** Cartilage injuries are the leading cause of disability in the elderly in developed countries. In addition, articular cartilage has a limited ability to repair. Current treatment methods for cartilage tissue injuries lead to fibrous tissue formation. Cell therapy is a treatment in which stem cells using tissue engineering can be differentiated into chondrocytes by using growth factors and scaffolds. Since growth factors such as transforming growth factor beta1 (TGF- $\beta$ ) leads to hypertrophy of cartilage chondrocytes tissue and many scaffolds are weak in terms of mechanics and stability, it is essential to achieve the appropriate scaffolds and inducing factors. Studies have shown that fibrin alginate scaffold is appropriate in terms of mechanical and stability and piascledine increases the cartilage-specific genes expression. Therefore, in this study the chondrogenic effect of TGF- $\beta$ 1 and piascledine on adipose derived stem cells in fibrin alginate scaffold was compared and evaluated.

**Methods:** Fat samples were obtained from three persons. Adipose derived stem cells (ADSCs) was extracted from adipose tissue and proliferated. Then the cells were transferred to the fibrin alginate scaffold and the cells were cultured for 21 days under the influence of the induction medium. The rate of proliferation and survival of cells was evaluated by [3-(4,5-dimethylthiazol-2-yl)-2,5-diphenyltetrazolium-bromide] MTT method and the rate of gene expression of Aggrecan and Collagen II and X was evaluated with Real-time polymerase chain reaction (Real-Time PCR) method.

**Findings:** The results showed that proliferation rate and survival of cells in a fibrin alginate scaffold in the group containing Piascledine increased compared to the other groups, but this increase is not significant ( $P > 0.050$ ). Also, Piascledine increased collagen II gene expression ( $P < 0.001$ ) and reduced collagen X gene expression when compared to TGF- $\beta$ 1.

**Conclusion:** Piascledine was found as a proper effective inducer in chondrogenic differentiation of human adipose derived stem cells cultured in fibrin alginate scaffold.

**Keywords:** Adipose derived stem cell, Piascledine, Chondrogenesis, Transforming growth factor beta1

**Citation:** Didehvar H, Golshan-Iranpoor F, Valiani A, Hashemibeni B, Esmaeeli M. Comparing the Effects of Transforming Growth Factor Beta1 (TGF- $\beta$ 1) and Piascledine on the Expression of Collagen II, X and Aggrecan Genes in Chondrogenesis of human Adipose-Derived Stem Cells in Fibrin Alginate Composite Scaffold. J Isfahan Med Sch 2016; 34(373): 157-65

1- MSc Student, Department of Anatomical Sciences, School of Medicine AND Student Research Committee, Isfahan University of Medical Sciences, Isfahan, Iran

2- Assistant Professor, Department of Anatomical Sciences, School of Medicine, Isfahan University of Medical Sciences, Isfahan, Iran

3- Associate Professor, Department of Anatomical Sciences, School of Medicine, Isfahan University of Medical Sciences, Isfahan, Iran

**Corresponding Author:** Batool Hashemibeni, Email: hashembeni@med.mui.ac.ir